

# 浮魚礁に関する研究

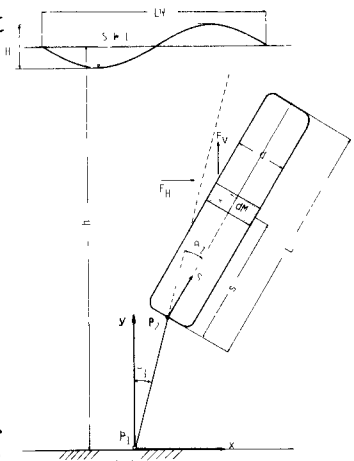
○鳥取大学工学部 正員 松原雄平  
 鳥取大学工学部 正員 野田英明  
 戸田建設 正員 橋本貞則

## 1. はじめに

浮魚礁は、水深60~70mの沖合の中層に、ブイ網等で構造物を設置し、これに回遊性の底中層魚介類を帯留せ漁獲増大ならびに増殖しようとするものである。現在、浮魚礁は、わが国沿岸水域の数ヶ所試験的に設置されているが、すでに、いくつかの成果も報告されており、今後、浮魚礁に与える期待は、ますます大きくなるものと思われる。浮魚礁の構造は、海底の1点あるいは数点を係留される半固定形式が特徴であるため、浮魚礁自身がまわりの流体運動とともに運動することから、浮体の運動特性をなわら波による浮魚礁の動的応答を明らかにしておく必要がある。本研究は、浮体の運動を倒立2重振り子の2自由度系振動問題として、波の作用による浮体の変位ならびに係留索張力について理論的に考察すると共に、実験的に検証したものである。

## 2. 理論的考察

図-1は海底の1点P<sub>1</sub>で係留された直径d、長さLの円柱浮魚礁と、それに作用する流体力および座標系を模式的に示したものである。浮体の余剰浮力が鉛直方向の流体力に比べて大きく、かつ、浮体の運動が波の進行方向を含む2次元平面内に限られるものと仮定する。いま、浮体の微小質量要素dMについて考えると、dMの中立位置からの変位は、点P<sub>1</sub>まわりの、係留索角θ<sub>1</sub>と点P<sub>2</sub>まわりの浮体回転角θ<sub>2</sub>とにより、つぎのように記述できる。



$$\left. \begin{aligned} x_1 &= l \sin \theta_1 + s \sin(\theta_1 + \theta_2) \\ y_1 &= l \cos \theta_1 + s \cos(\theta_1 + \theta_2) \end{aligned} \right\} (1)$$

ここに、 $l$  : 係留索長、 $s$  : 点P<sub>2</sub>を原点とし、浮体中心に沿う軸である。式(1)から、dMの有する運動エネルギーを算出し、さらにsについて0からLまで積分すると、浮体の全運動エネルギーが算定される。すなわち、

$$E = \frac{1}{2} \cdot I \cdot \left\{ (3r^2 + 3r + 1) \dot{\theta}_1^2 + (3r + 2) \dot{\theta}_1 \dot{\theta}_2 + \dot{\theta}_2^2 \right\} \quad \dots (2)$$

ここに、 $I = \rho_0 V \frac{L^2}{3}$ 、 $r = (\pi d^2 / 4) \cdot L$ 、 $r = l / L$ 、 $\rho_0$  : 流体密度である。

Lagrangeの運動方程式に、式(2)を代入すれば、θ<sub>1</sub>、θ<sub>2</sub>に関する運動方程式が以下のように得られる。

図-1. 座標系と浮体模式図

$$(I + K_1 J) (\ddot{\theta}_1 + 3r + 1) \dot{\theta}_1 + (\frac{3}{2}r + 1) \ddot{\theta}_2 + C_1 L^2 (\frac{1}{3} + r^2) \dot{\theta}_1 + (P - \rho_0) V g L (r + 1) \theta_1 = Q_1 \cdot e^{i(\omega t + \epsilon_1)} \quad \dots (3)$$

$$(\frac{3}{2}r + 1) \ddot{\theta}_1 + (I + K_1 J) \ddot{\theta}_2 + C_2 L^2 (r + \frac{1}{2}) \dot{\theta}_2 + (P - \rho_0) V g \frac{L}{2} (\theta_1 + \theta_2) = Q_2 \cdot e^{i(\omega t + \epsilon_2)} \quad \dots (4)$$

ここに、 $K_1, K_2$  : θ<sub>1</sub>、θ<sub>2</sub>に関する付加質量係数  $J = \rho V \frac{L^2}{3}$ 、 $\rho$  : 流体密度、 $C_1, C_2$  : θ<sub>1</sub>、θ<sub>2</sub>に関する減衰係数  $Q_1, Q_2$  : 点P<sub>1</sub>、P<sub>2</sub>に関する流体力によるモーメントである。また、式(3)、(4)は線型減衰を仮定している。式(3)、(4)は、θ<sub>1</sub>、θ<sub>2</sub>の連続した2階の常微分方程式であり、いずれも線型であるので、解析的に解くことができる。また、θ<sub>1</sub>、θ<sub>2</sub>が明らかになれば、さらに、鉛直ならびに水平方向の流体力F<sub>H</sub>、F<sub>V</sub>と、浮体の回転運動によって生ずる遠心力F<sub>c</sub>のつり合、式から、係留索張力T<sub>e</sub>が、つぎのように求められる。

$$T_e = \sqrt{(F_V + (P - \rho_0) V g)^2 + F_H^2} + F_c - (P - \rho_0) V g \quad \dots (5)$$

### 3. 実験結果の考察

実験は、水深を60cmと一定にし、周期0.84sec~3.4sec、波高1.4~2.7cmの条件で行った。また、 $L=34cm$ ,  $l=14.2cm$ ,  $d=6cm$ ,  $\rho_s/\rho = 1776g$  である。図-2は、実験で観察された波による浮体の振動を模式的に示したものであり、図に示されるような4つのタイプに大別されることわかった。タイプ1は

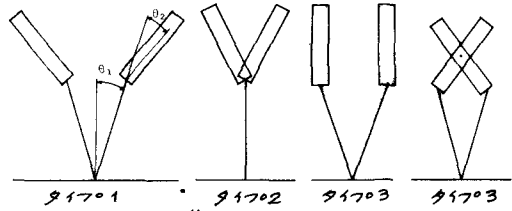


図-2 浮体の振動形

は  $\theta_1$  と  $\theta_2$  が波と同じ位相で現われるもの、浮体の振幅が他のタイプに比べて大きい。タイプ2は、 $\theta_2$  に比べ  $\theta_1$  がきわめて小さく、浮体の振動はほぼ点  $P_2$  を中心とした回転運動である。タイプ3は、タイプ2と逆に、点  $P_1$  まわりの回転が生ぜず、浮体は中立の位置を保って点  $P_1$  まわりの振動するものである。タイプ4は、 $\theta_1$  と  $\theta_2$  が逆位相で現われる振動モードであり、

浮体の重心を中心とした回転運動が観察された。また、振動のタイプは、周期の長いものの示してある。式(3)、(4)から算定される浮体の固有周期は、タイプ1とタイプ4の周期とほぼ一致しており、それ以外の波および2次の振動モードであることわかれる。図-3、4は、波形ならぬ式(3)、(4)から算定される係留索張角  $\theta_1$ 、浮体回転角  $\theta_2$  および式(5)から算定される索張力  $T_e$  と波の一周期について、

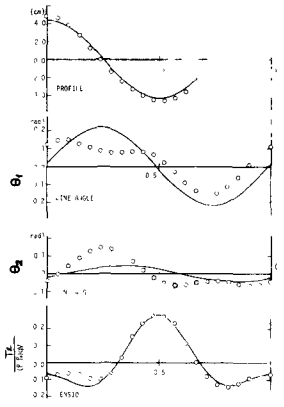


図-3 波形、 $\theta_1$ 、 $\theta_2$ 、 $T_e$ の時間的変化

実験結果と比較したものである。図中、実線が算定値、丸印が実験値を示している。図-3は、 $T=1.77sec$ ,  $H=8.7cm$ の結果であるが、この図より、 $\theta_1$ の理論値は実験値よりもわずかに大きい、その位相はほぼ一致していること、一方、 $\theta_2$ は非対称な振動運動を示しており、実験値が理論値よりも大きいことなどがわかる。また、 $\theta_1$ 、 $\theta_2$ のずれも、波と約  $\pi/2$  の位相差を有している。係留索張力の経時変化は、理論値と実験値とも、きわめてよく一致していることがわかる。

とくに波の谷の位相において最大張力が現われており、鉛直方向の慣性力の効果が卓越していると考えられる。図4は、 $T=3.4sec$ ,  $H=2.7cm$ の固有周期近傍の結果である。この図より、 $\theta_2$ の実験値にせよばらつきがみられるものの、 $\theta_1$ 、 $\theta_2$ の理論値は、実験値とほぼ一致しているといえる。また、波の位相とほぼ同位相に振動していることがわかる。係留索張力の時間的変化は理論値、実験値ともよく一致していることがわかる。とくに浮体の角速度が最大となる、おおよそ、 $\theta_1=0$  となる位相で係留索張力が最大となっている。これは、式(4)において、遠心力  $F_c$  の効果が卓越していることを示しており、図-3の結果と異なり双峰形の張力変化となっている。

#### まとめ

本研究で導いた  $\theta_1$ 、 $\theta_2$  の算定式は、ほぼ完全に実験結果を説明することわかった。とくに、タイプ3、4の条件下では実験結果と一致する場合があり、なお検討が必要である。係留索張力は、理論値、実験値ともよく一致しており、式(5)は、十分な精度で係留索張力が算定されることを示している。とくに、波の周期が浮体の固有周期に近くなり共振を起こし始めると、第1共振点付近では、浮体の遠心力が最大係留索張力の支配的要因となり、一方、第2共振点付近では、流体の鉛直方向の慣性力の支配的要因となることが明らかとなった。

#### 参考文献

木村晴保：波によって生ずる浮体上の係留索張力 第25回海洋工学講演会論文集 pp.612~616

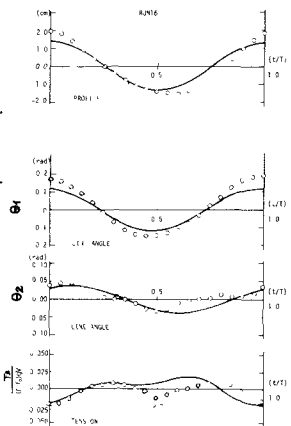


図-4 波形、 $\theta_1$ 、 $\theta_2$ 、 $T_e$ の時間的変化